

TRIKOUPIS Nikolaos, TE-CRG-CI

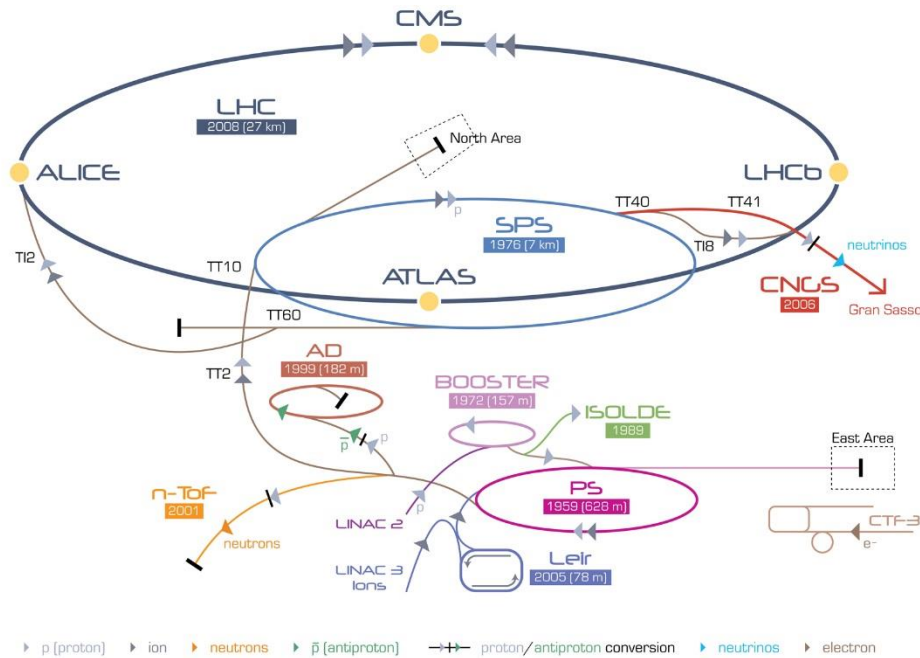
Introduction to Cryogenics and Radiation Tolerant Instrumentation Electronics

23/08/2016 – Greek Teachers Program

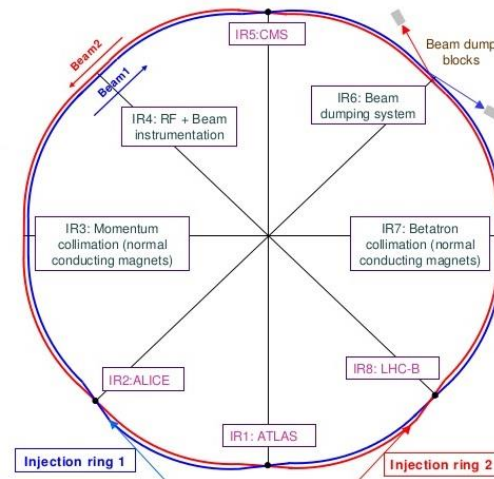
Σύνοψη θεμάτων

- LHC, διπολικοί μαγνήτες και υπεραγωγιμότητα.
- Κρυογενικά υγρά, υπέρρευστο ήλιο και εφαρμογή στον LHC.
- Κρυογενικοί αισθητήρες.
- Επιπτώσεις της ακτινοβολίας στα ηλεκτρονικά.
- Σχεδίαση ανθεκτικών ηλεκτρονικών συστημάτων για τα κρυογενικά του LHC.

Το σύμπλεγμα επιταχυντών του CERN και ο LHC



LHC Large Hadron Collider SPS Super Proton Synchrotron PS Proton Synchrotron
 AD Antiproton Decelerator CTF-3 Clic Test Facility CNCS Cern Neutrinos to Gran Sasso ISOLDE Isotope Separator OnLine DEvice
 LEIR Low Energy Ion Ring LINAC LINear ACcelerator n-ToF Neutrons Time Of Flight



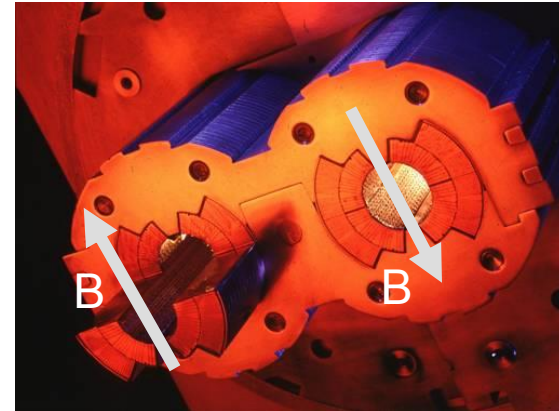
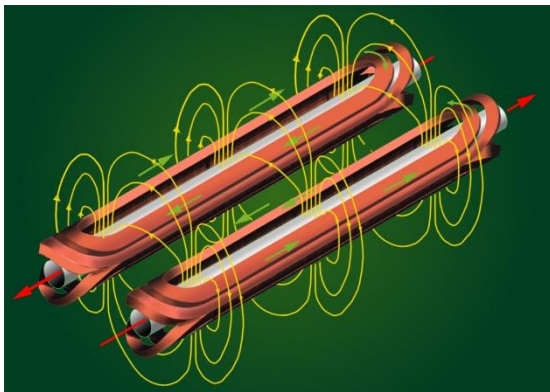
LHC: 27 Km



Μαγνήτες

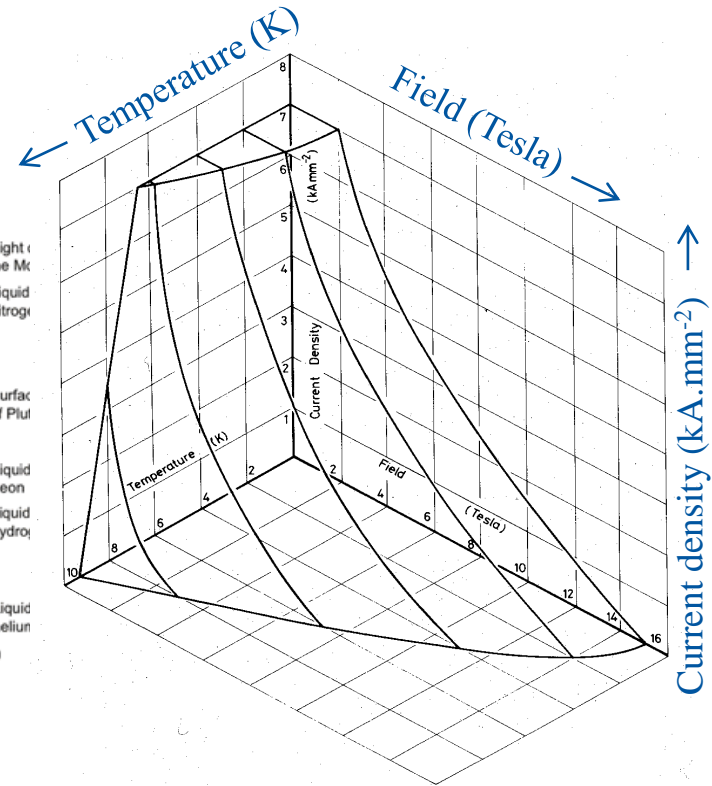
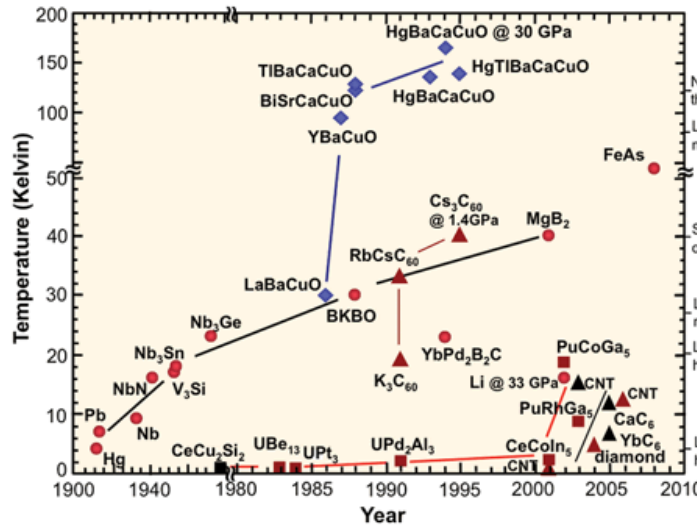
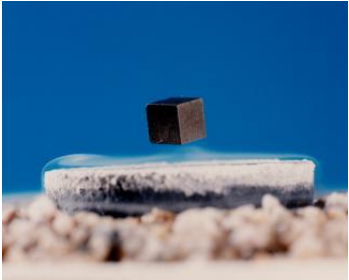
- Διπολικοί (1232, 35t) για στρέψη της δέσμης αδρονίων.
- Τετραπολικοί για focus/defocus.
- 6,8,12,... –πολικοί για διορθώσεις.

Διπολικοί μαγνήτες



- Για 14 TeV (7 TeV ανά δέσμη) και $r = 2680\text{m}$: 8.33 Tesla μαγνητικό πεδίο διπόλων με 11.850 Amperes.
- Αναγκαία η χρησιμοποίηση υπεραγώγιμων καλωδίων.

Υπεραγωγιμότητα



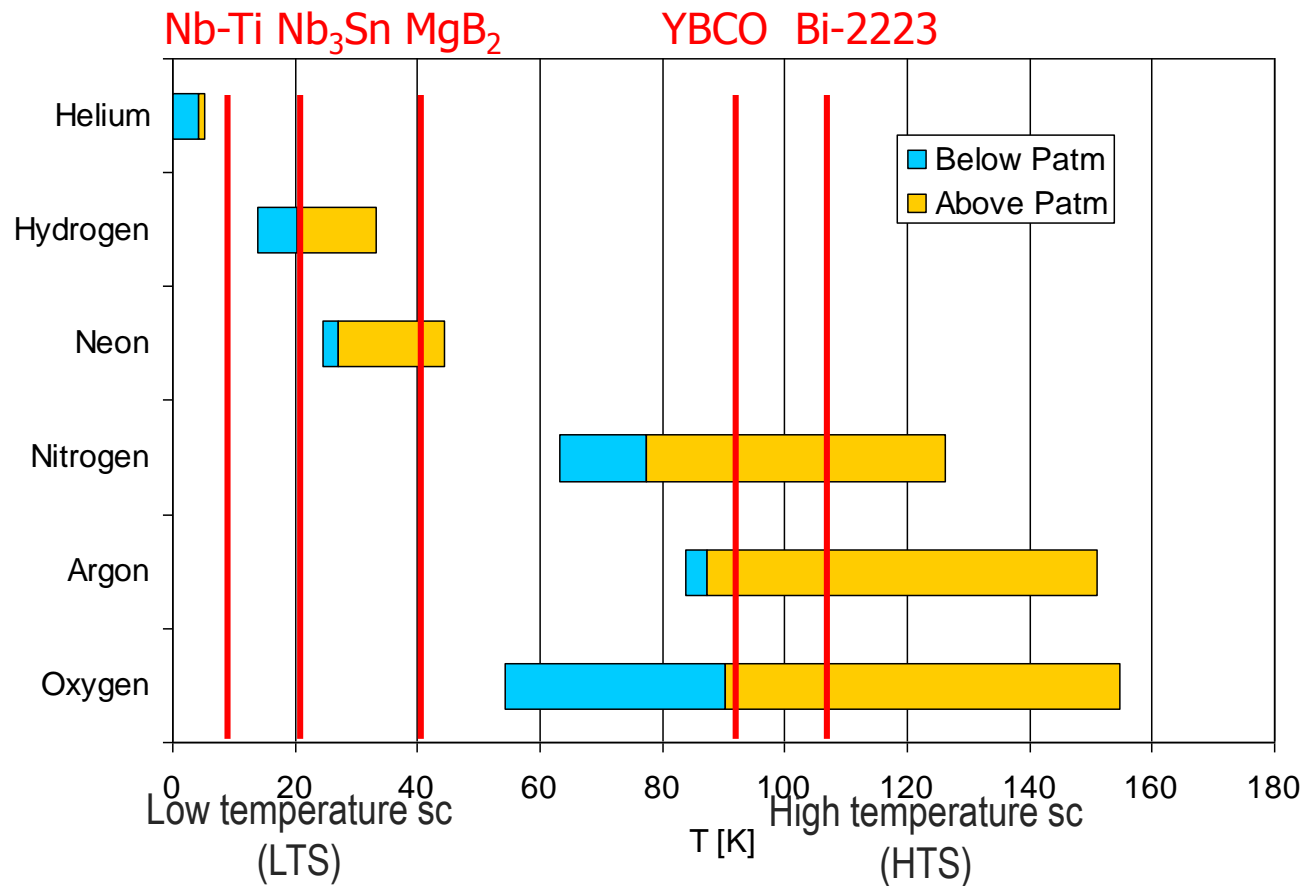
Οι υπεραγωγοί είναι υλικά που επιτρέπουν την διέλευση του ρεύματος με μηδενική αντίσταση. Ιδιότητα που ανακαλύφθηκε το 1911 από τον Ολλανδό Heike Kamerlingh Onnes.

Κράμα Νιοβίου-Τιτανίου (1962) (Niobium-titanium, NbTi)

Υπεραγωγίμο για $T < 10$ K και $H < 15$ T.

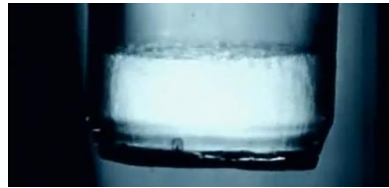
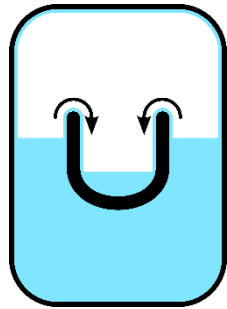
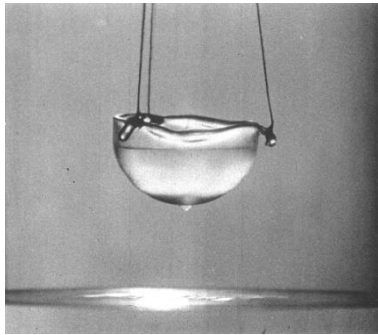
Συμβατό με τις προδιαγραφές του LHC και εφικτό να κατασκευαστεί σε βιομηχανική κλίμακα.

Όρια δράσης κρυογενικών υγρών

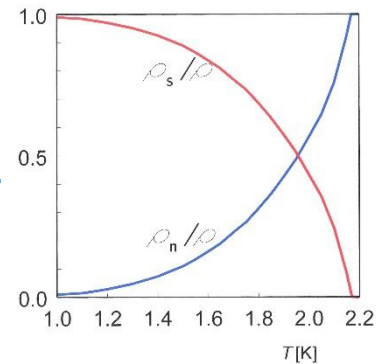
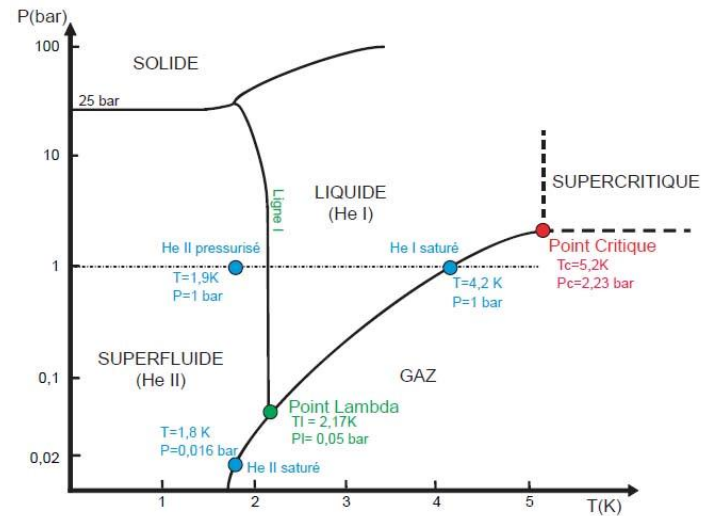


Κρυογενικά υγρά: Ρευστά σε θερμοκρασίας $\leq -180^{\circ}\text{C}$ 93.15K

Υπέρρευστο ήλιο (superfluid helium)



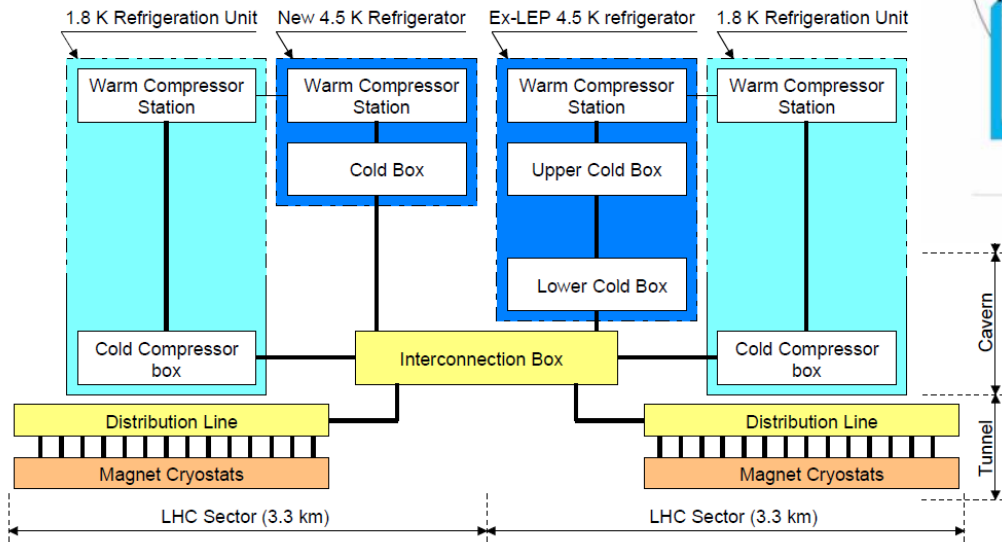
1937, Kapitsa et al.



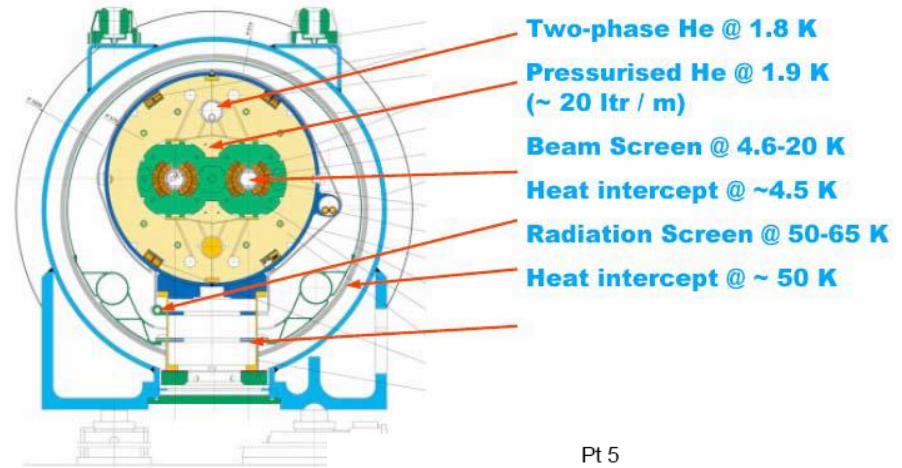
- Το ήλιο είναι υγρό για θερμοκρασίες $T < 4.2\text{K}$.
- Μετατρέπεται σε υπέρρευστο (για ένα %) όταν $T < 2.17\text{K}$ (-270.98°C) (^4He).
 - Π.χ για 1.5K έχουμε $\sim 90\%$ υπέρρευστο. Γράφημα δεξιά για normal/superfluid %.
- Υγρό με μηδενικό ιξώδες και μηδενική εντροπία.
- Καλύπτει όλες τις επιφάνειες του δοχείου και διαφεύγει από πορώδεις επιφάνειες.
- Μεγάλη ικανότητα απαγωγής θερμότητας.

Κρυογενικά στον LHC

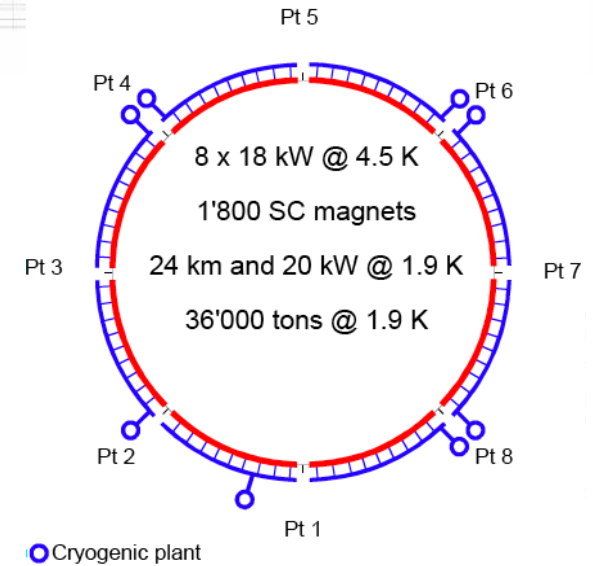
Typical LHC even point



LHC DIPOLE : STANDARD CROSS-SECTION

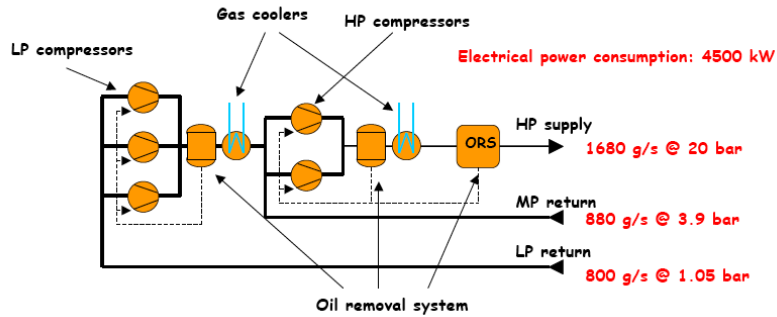


- Two-phase He @ 1.8 K
- Pressurised He @ 1.9 K (~ 20 ltr / m)
- Beam Screen @ 4.6-20 K
- Heat intercept @ ~4.5 K
- Radiation Screen @ 50-65 K
- Heat intercept @ ~ 50 K

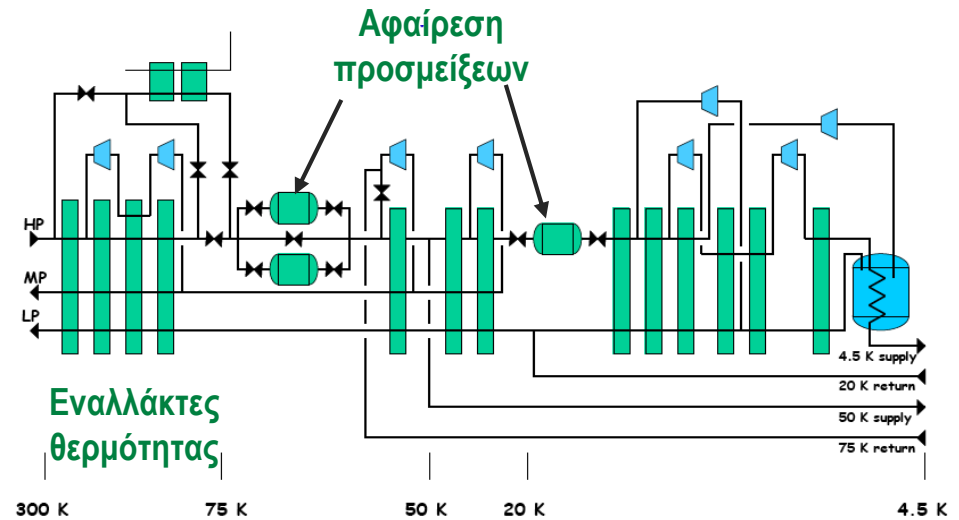


- Υπεραγωγιμότητα + υπέρρευστο ήλιο → Μαγνήτες: 1.9 K (-271.25°C).
- 120 τόνοι ήλιου για να 36.000 τόνους μαγνητών.

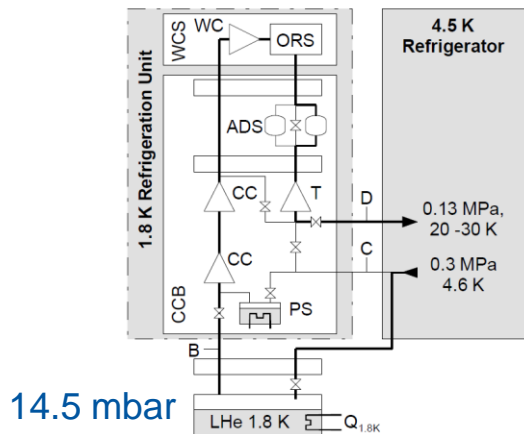
Refrigerators του LHC



Συμπιεστές του 18 kW refrigerator @ 4.5 K



Cold box του 18 kW refrigerator @ 4.5 K

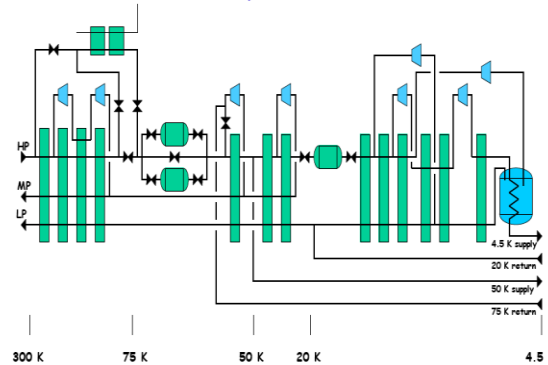


2.4 kW 1.8 K refrigeration unit

Κρυογενικές εγκαταστάσεις του LHC



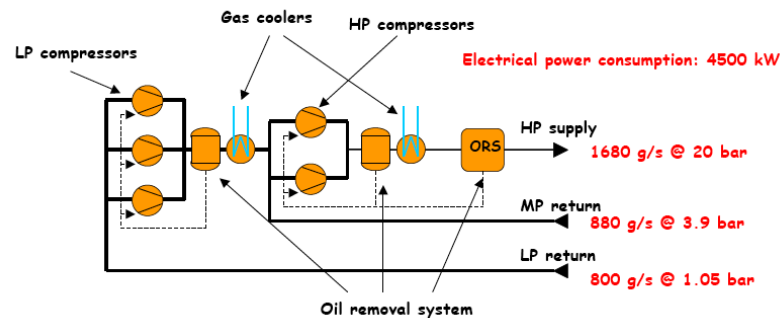
Cold box του 18 kW refrigerator @ 4.5 K



Δεξαμενές αποθήκευσης ηλίου

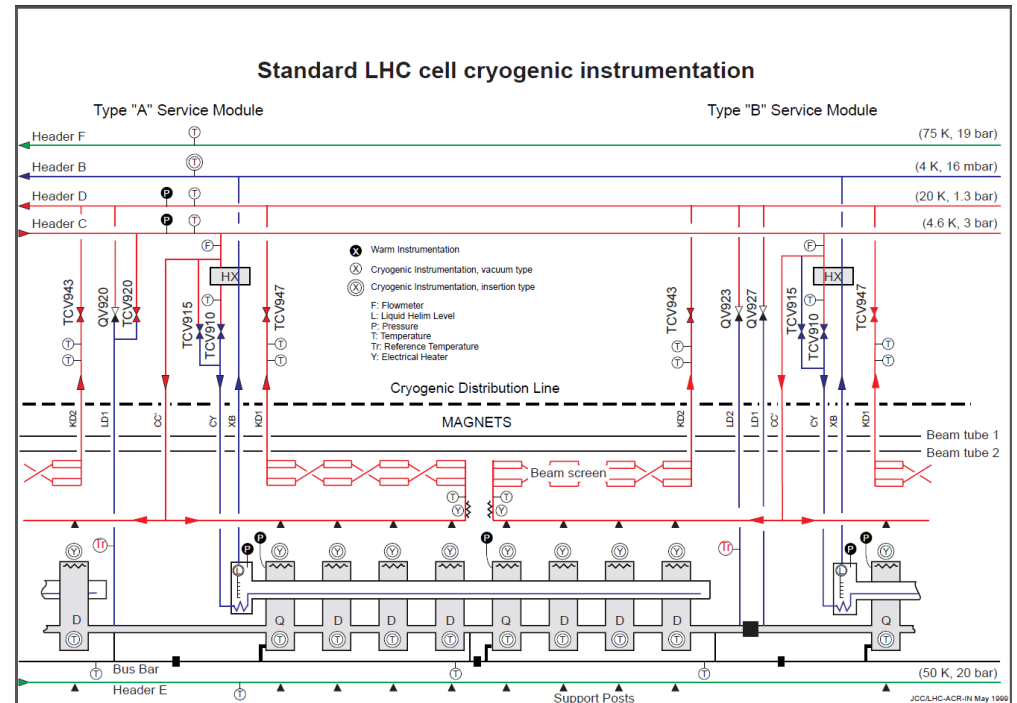
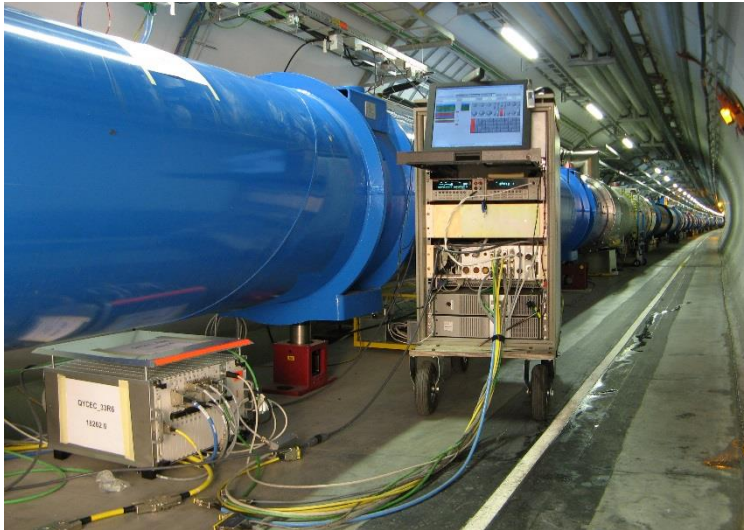


LHC compressors 18 kW @ 4.5 K



TE-CRG-CI

TE: Technology department
 CRG: Cryogenics group
 CI: Cryolab & Instrumentation section



800 WorldFIP crates

Ενεργά κανάλια:

6500 Θερμοκρασία

800 Πίεση

500 Στάθμη υγρού ηλίου

2000 Θερμαντικές αντιστάσεις

1100 Μηχανικοί διακόπτες (I/O)

Δραστηριότητες:

- Υποστήριξη υπάρχουσας υποδομής.
- Επίλυση σφαλμάτων.
- Σχεδίαση νέων συστημάτων.

Τα cryogenics instrumentation στον LHC

Κατά τον αρχικό σχεδιασμό αποφασίστηκε να τοποθετηθούν τα ηλεκτρονικά:

- A) Κάτω από τους μαγνήτες για τα καμπύλα τμήματα.
- B) Στους χώρους μειωμένης ακτινοβόλίας για τα ευθύγραμμα τμήματα.

Λόγω μεγάλου κόστους καλώδιωσης και πιθανών ηλεκτρομαγνητικών παρεμβολών.



Κάτω από τους διπολικούς μαγνήτες



Σε υπόγειους χώρους μειωμένης ακτινοβολίας

Αισθητήρες μέτρησης θερμοκρασίας

$$\log_{10} T(R) = \sum_0^9 A_i * \frac{1}{(\log_{10} R)^i}$$

equivalent to:

$$T(R) = 10^{\left(\sum_0^9 A_i * \frac{1}{(\log_{10} R)^i}\right)}$$

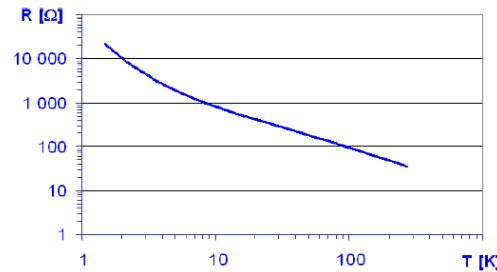
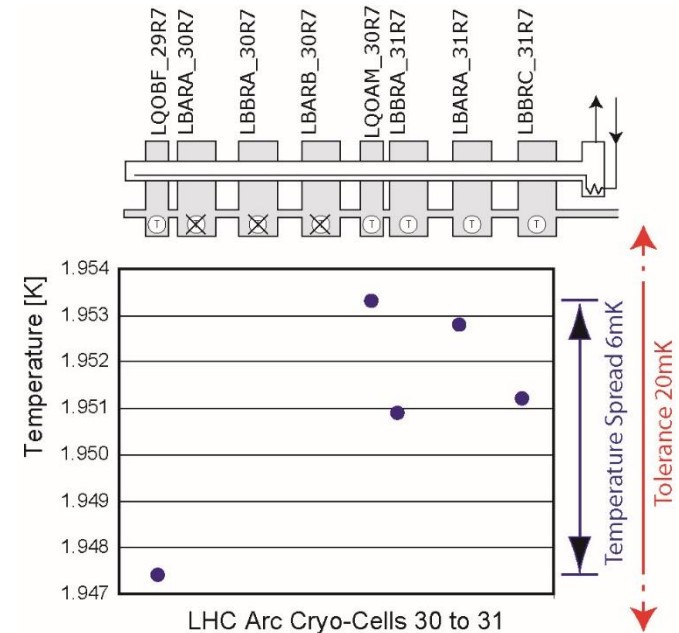


Figure 2 Example of a fit curve, T(R), log scale

The residuals obtained by using function $T(R)$, are within the uncertainty requirements given in Table 2.

Table 2 Uncertainty requirements as a function of the temperature range (including electronics and sensors uncertainty)

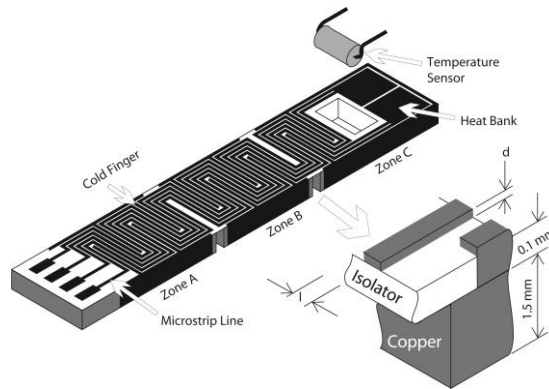
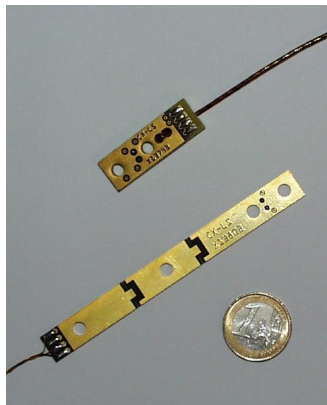
	Temperature Range [K]					
	1.6-2.2	2.2-4	4-6	6-25	20-50	50-300
Uncertainty	± 0.01 K	± 0.02 K	± 0.03 K	± 1 K	± 5 K	± 5 K



LHC Arc Cryo-Cells 30 to 31

Το θερμόμετρο

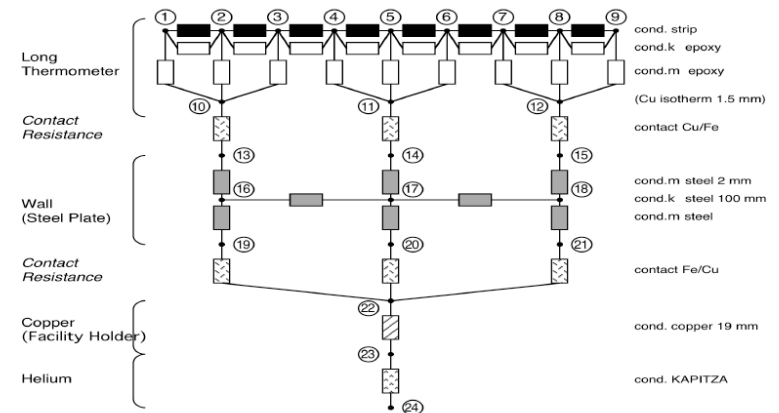
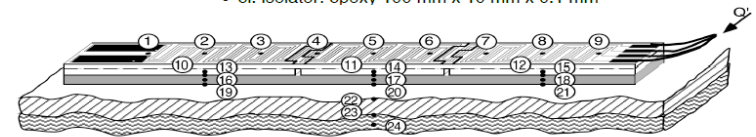
Θερμόμετρο = αισθητήρας + βάση (thermometric block)



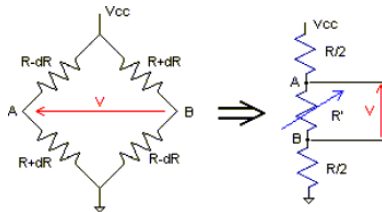
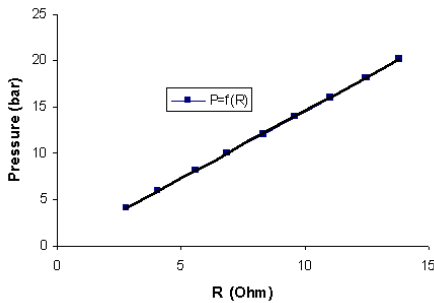
Design

PCB technique => known technique => low cost, big series possible

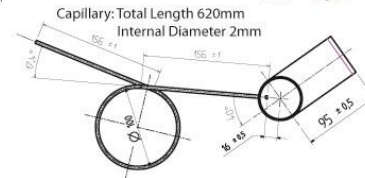
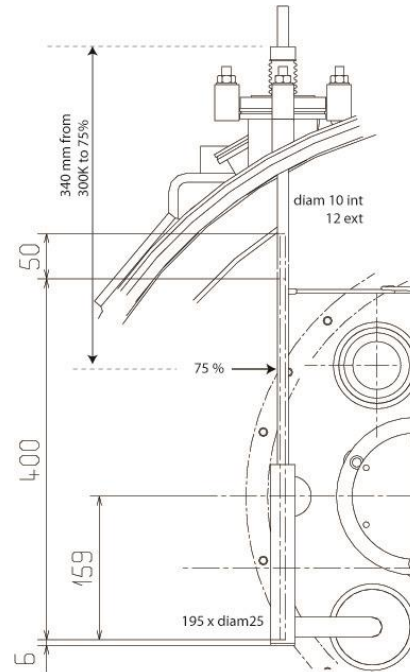
- strip: Cu , 700 mm x 0.1 mm x 0.01 mm
- el. isolator: epoxy 100 mm x 10 mm x 0.1 mm



Αισθητήρες στάθμης ηλίου και πίεσης

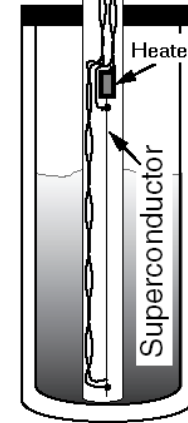


Αισθητήρας πίεσης



Αισθητήρας στάθμης LHe
Υπεραγώγιμο καλώδιο.

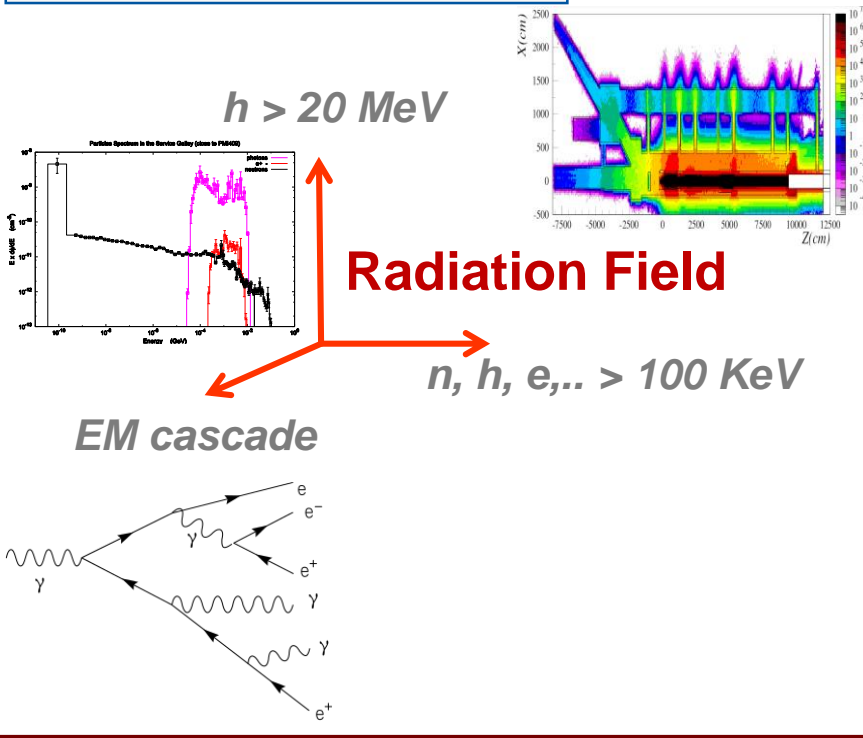
Voltage Measurement and Current injection



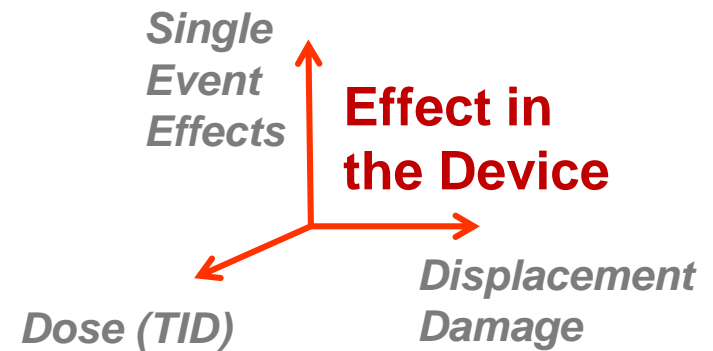
Αλλαγή αισθητήρα στάθμης LHe

Φυσική ακτινοβολιών και επιπτώσεις στα ηλεκτρονικά (1/2)

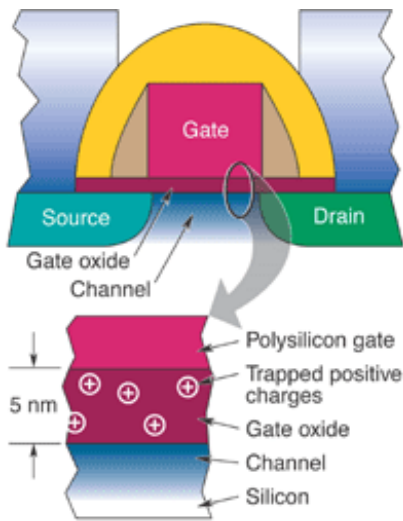
Ενέργεια σωματιδίων



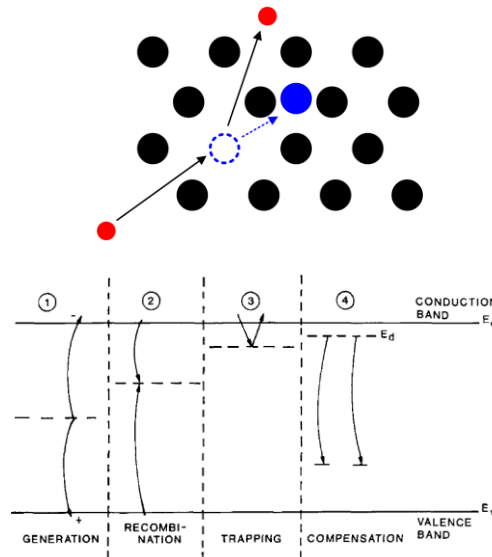
Σφάλματα & Βλάβες σε ημιαγωγούς



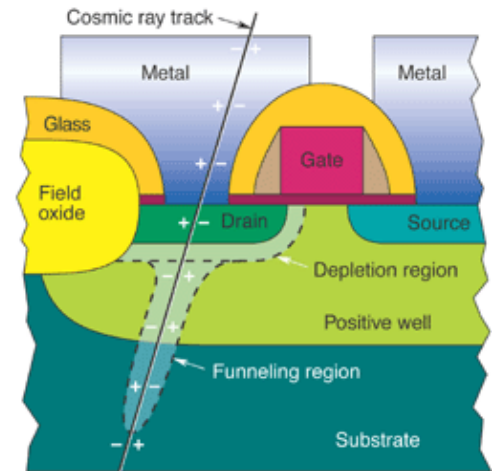
Φυσική ακτινοβολιών και επιπτώσεις στα ηλεκτρονικά (2/2)



TID



DD



SEEs

TID: Συσσώρευση ιονίζουσας δόσης → Δημιουργία ζευγών electron-hole. Αλλαγή των χαρακτηριστικών λειτουργίας (π.χ. Transistors/Mosfets).

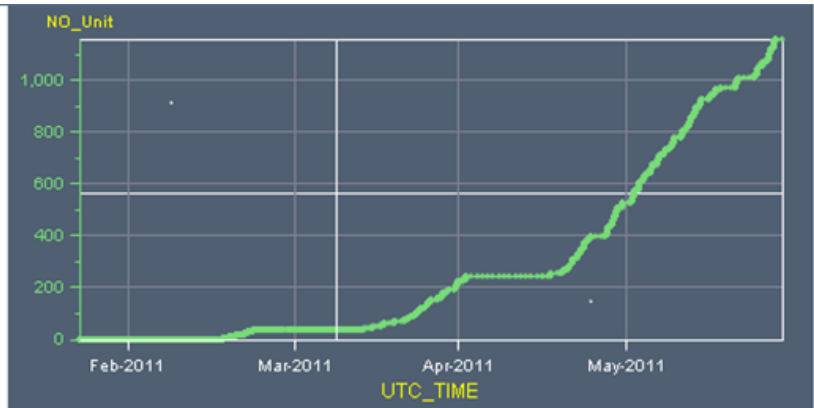
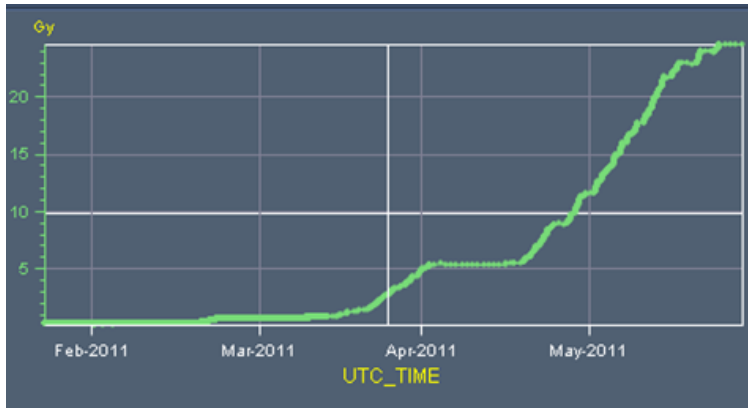
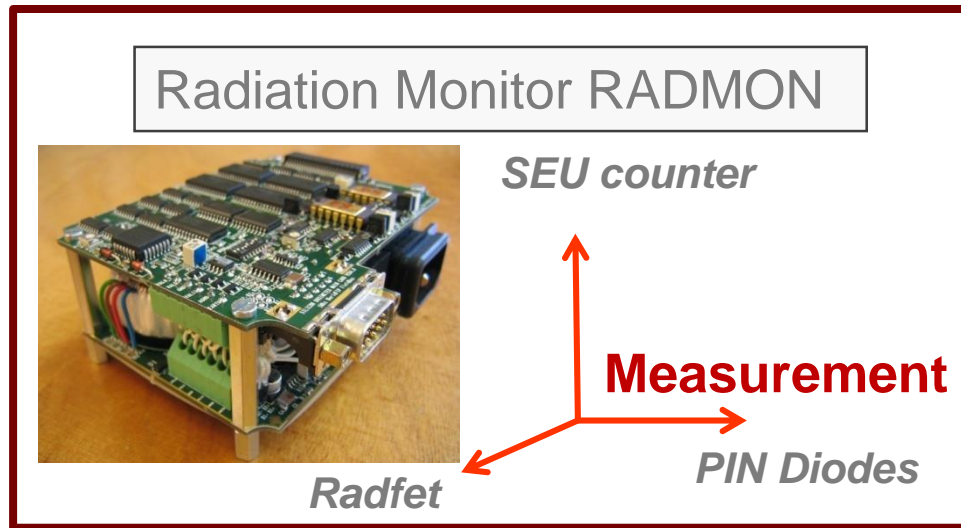
DD: Συσσώρευση σφαλμάτων λόγω συγκρούσεων/μετατοπίσεων ατόμων στο πλέγμα. Αλλαγή των ιδιοτήτων του υλικού (πχ. Ενέργεια μετάβασης).

SEEs: Στατιστικό φαινόμενο: Μεταβατικό/Μόνιμο/Καταστροφικό.

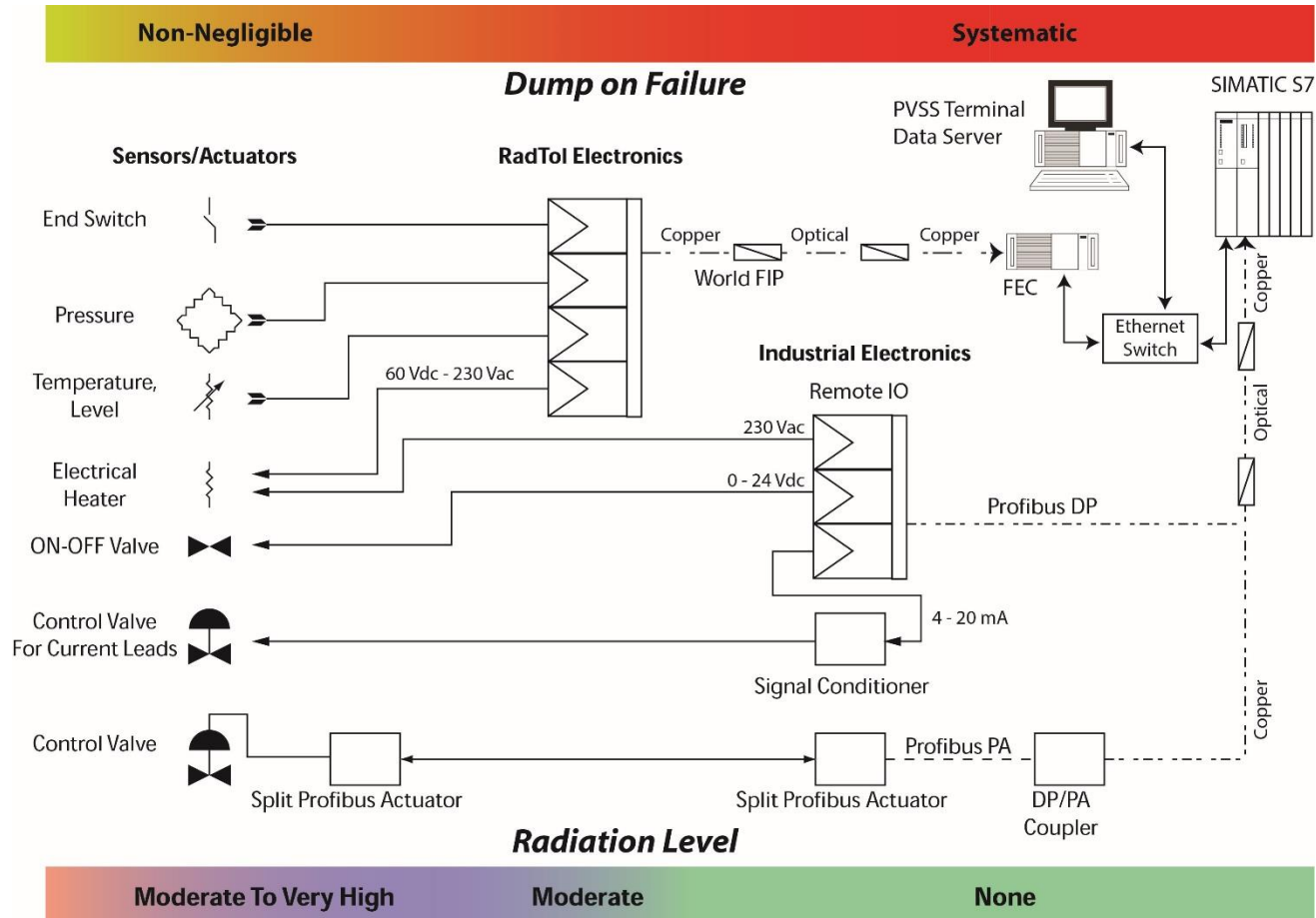
Κίνηση φορτισμένων σωματιδίων → Πιθανότητα ενεργοποίησης κυκλωμάτων.

J. Scarpulla et al.

Μετρητές ακτινοβολίας στον LHC

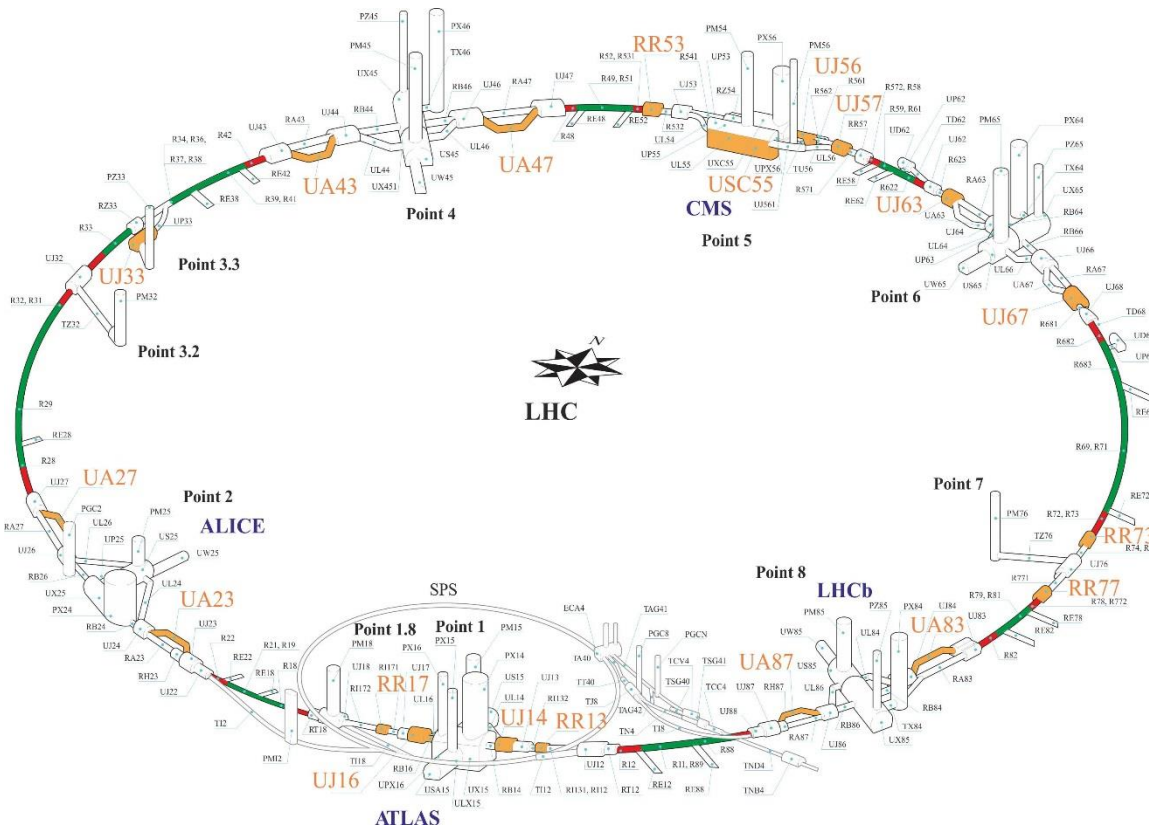


Κρυογενικά συστήματα: Αισθητήρες & Αυτόματος έλεγχος



- Οι αισθητήρες δοκιμάστηκαν για την αντοχή τους στην ακτινοβολία κατά τον αρχικό σχεδιασμό.
- Τα ανθεκτικά στην ακτινοβολία ηλεκτρονικά σχεδιάστηκαν για τους υπόγειους χώρους του LHC.

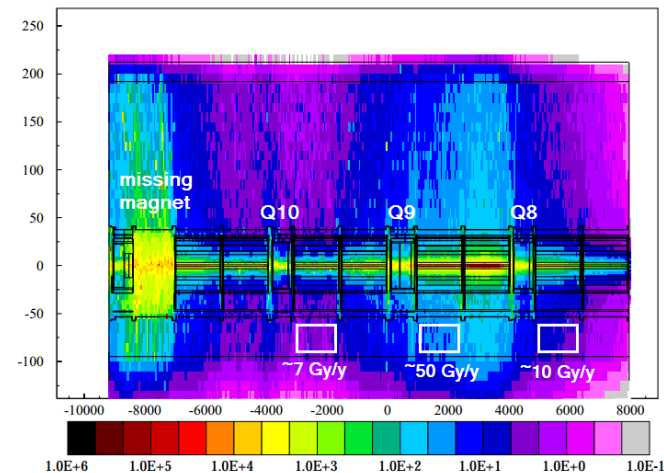
CRYO instrumentation - Τοποθεσίες ηλεκτρονικών συστημάτων



Δοκιμές αντοχής μέχρι τα 1000 Gy



RADMON



FLUKA Simulations
Fynbo, Stevenson, 2002

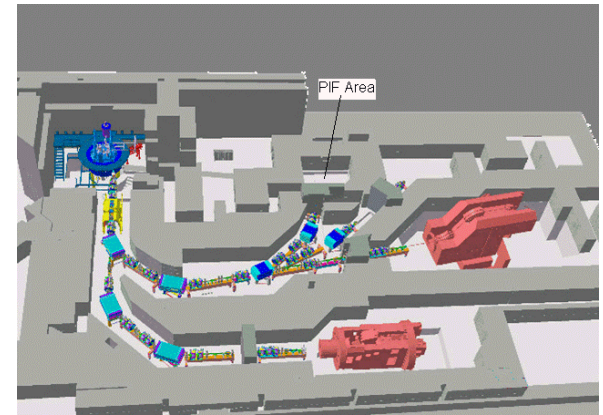
Εγκαταστάσεις δοκιμών αντοχής στην ακτινοβολία



CNRAD, CNGS, CERN
400 GeV/c πρωτόνια σε στόχο
άνθρακα/μόλυβδο.
Μικτό περιβάλλον ακτινοβολίας.



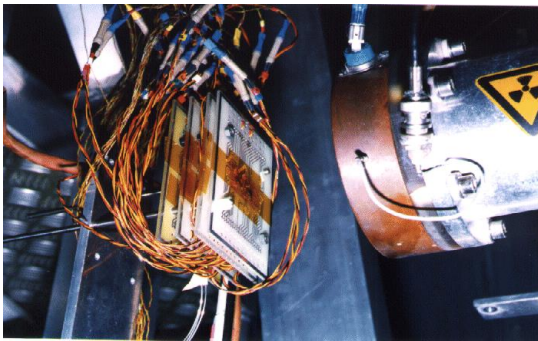
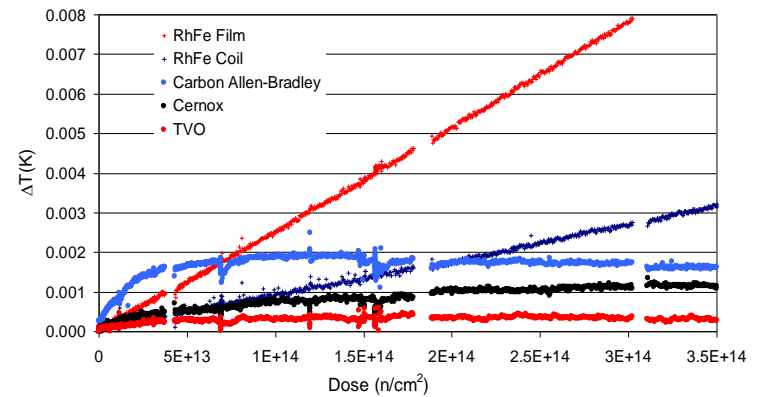
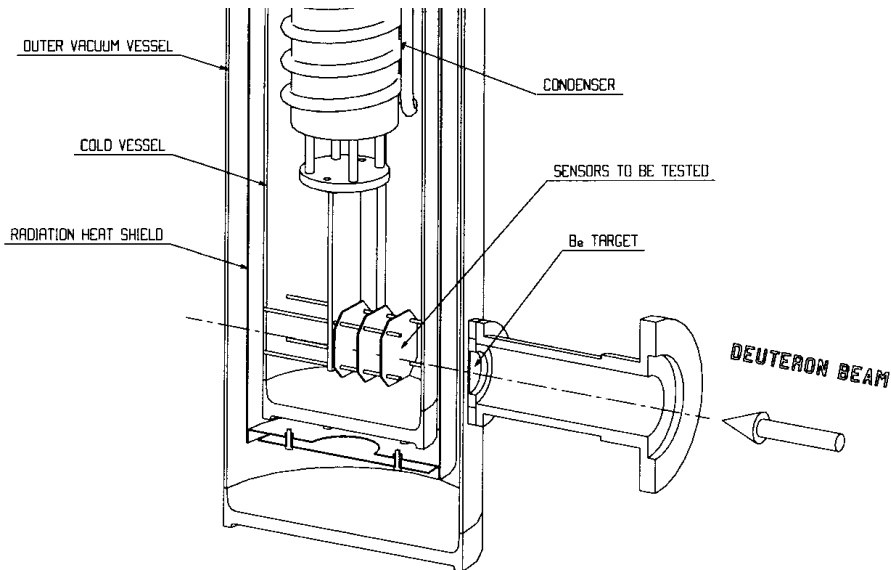
CHARM, CERN
24 GeV/c πρωτόνια σε ποικιλία στόχων.
Μεγάλη ποικιλία περιβάλλοντων ακτινοβολίας.



PIF, PSI, Villigen, CH
Παρασιτική εγκατάσταση σε κλινική
πρωτονοθεραπείας.
Πρωτόνια: 230 MeV

Και διάφορες άλλες εγκαταστάσεις με νετρόνια, ακτίνες γάμμα, κλπ

Δοκιμές στους αισθητήρες



Δοκιμές σε αισθητήρες:

- Θερμοκρασίας
- Πίεσης
- Στάθμης υγρού ηλίου

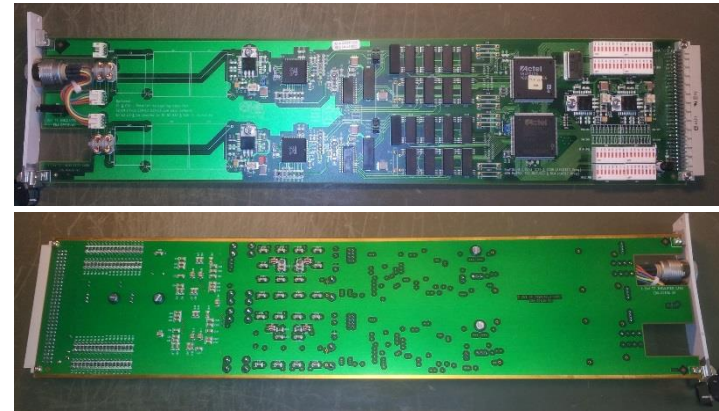
Δοκιμές στα SARA (Grenoble, FR) και CERI (Orleans, FR)

2 νέες κάρτες για το Run 2 του LHC

Electrical heaters for the beam screen (EHBS)



TT Insulated 1.2KV
(for 600A current leads)



Για το run #2 του LHC, 2 νέες κάρτες σχεδιάστηκαν και εγκαταστάθηκαν.

EHBS (271 κάρτες) σε όλον τον επιταχυντή.

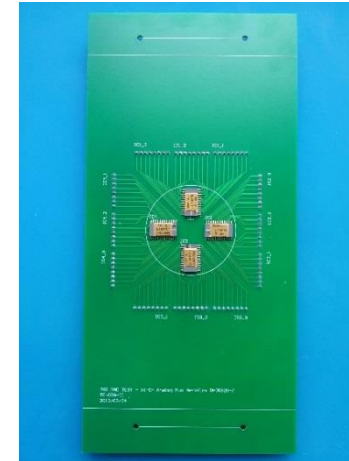
TT cards (765 κάρτες) σε περιοχές με χαμηλότερη ακτινοβολία.

Επιλογή ηλεκτρονικών



Κοινά ηλεκτρονικά
Commercial Off The Shelf (COTS)

- + \$ (€), Φθηνά
- Αμφίβολη ανθεκτικότητα στην ακτινοβολία
- Αναγκαίες δοκιμές
- + Διαθεσιμότητα
- + Χωρίς περιορισμούς



Σχεδιασμένα ηλεκτρονικά
για ανθεκτικότητα στην ακτινοβολία

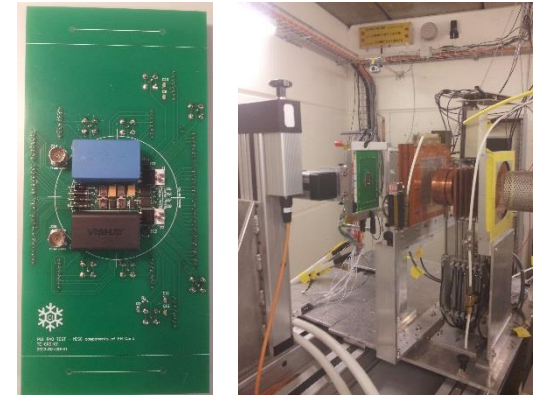
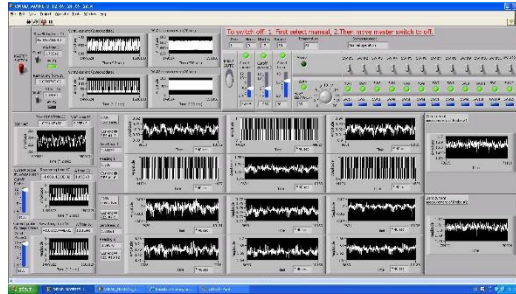
- + \$\$\$ (€ € €), Ακριβά
 - + Ανθεκτικά στην ακτινοβολία
 - + Απαιτούνται ελάχιστες δοκιμές
 - Διαθεσιμότητα
 - - Περιορισμοί περί όπλων*
- * ITAR (International Traffic in Arms Regulations)

- Προσπάθεια για χρήση μόνο COTS λόγω μεγάλου αριθμού εξαρτημάτων και κόστους.
- Οι εταιρείες ανθεκτικών ηλεκτρονικών δεν ξέρουν πως να κοστολογήσουν μεγάλες ποσότητες.
- Αφίβωλη η τελική έγκριση και η μελλοντική διαθεσιμότητα των ανθεκτικών ηλεκτρονικών.
- Επιλογή ανθεκτικών ηλεκτρονικών μόνο σε εξαιρετικές περιπτώσεις.
- Η ανθεκτικότητα των κοινών ηλεκτρονικών εξαρτάται από τη σειρά παραγωγής ακόμη κι εντός της ίδιας εταιρείας.

Δοκιμές μεμονωμένων ηλεκτρονικών



CNRAD/CNGS
Mixed-Field
JUN-DEC/2012



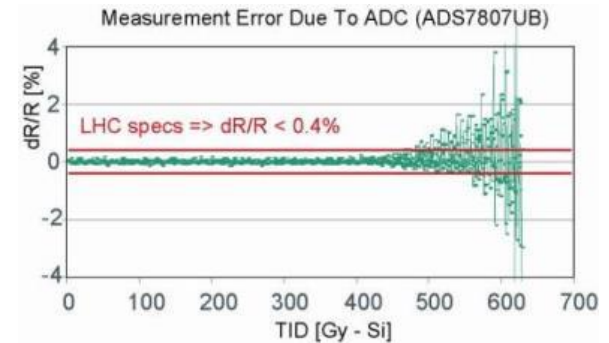
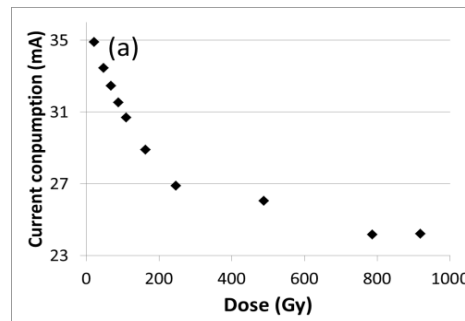
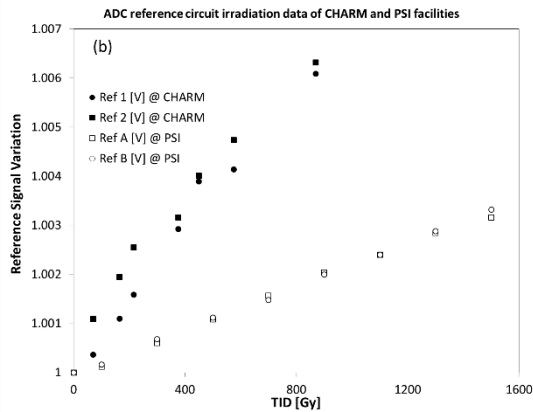
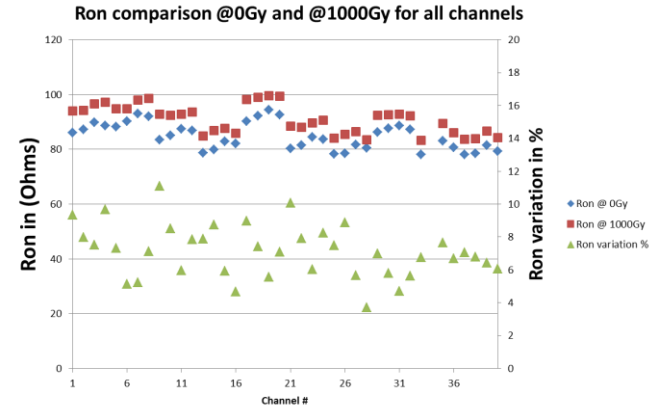
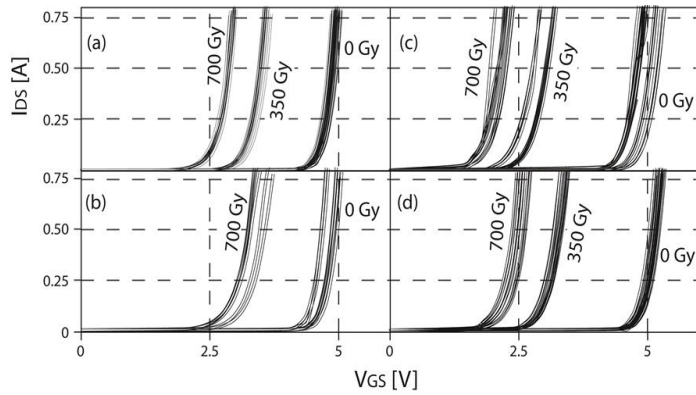
PSI (230 MeV p) FEB/2013
(TID, SEE, DD)



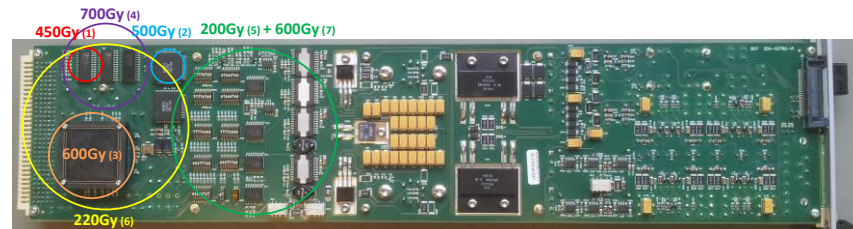
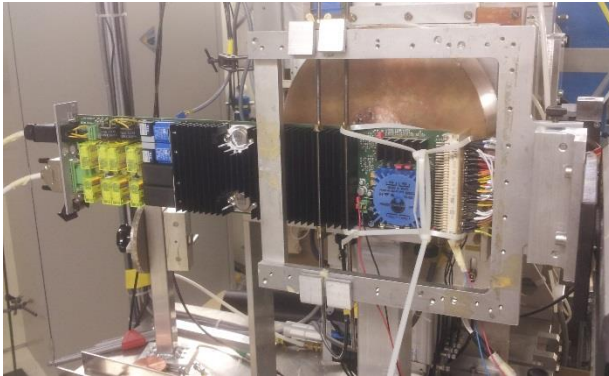
Multiple components
PSI, JUL/2013

Η εύρεση ανθεκτικού COTS πολυπλέκτη οδήγησε σε εξοικονόμηση >450 CHF/κάρτα
Σε ένα προτζεκτ: 200 KCHF.

Επίδραση ακρινοβολίας στα ηλεκτρικά χαρακτηριστικά - παραδείγματα



Δοκιμές στο πρωτότυπο



Prototype board
PSI, NOV/2013

Τεχνικές μείωσης επιπτώσεων ακτινοβολίας

Triple Modular Redundancy (TMR)
Κωδικοποίηση, Φιλτράρισμα,
Safe state-machines
Watchdogs

Λογισμικό/Φιλτράρισμα

Επανεκκίνηση λογισμικού

Διακοπή τροφοδοσίας

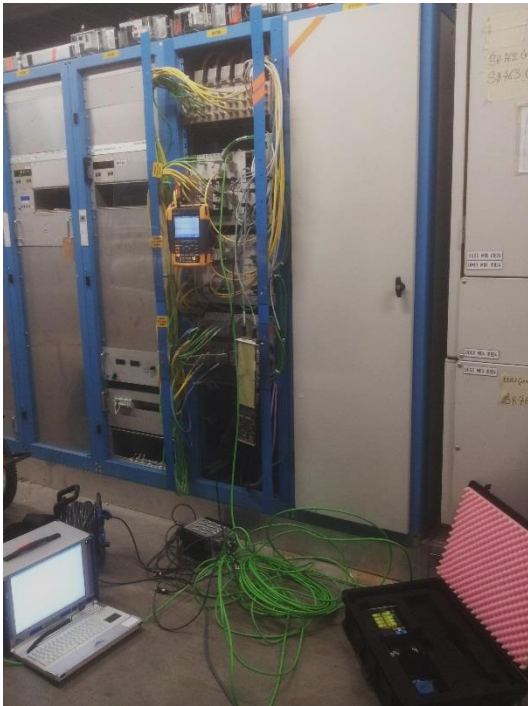
Διορθώσεις υλικού

Ανώτερο λογισμικό

Παρεμβάσεις ειδικού

+ άλλα (πχ. Antifuse FPGA, down-clocking, safe statemachines, ...)

Επιβεβαίωση καλής λειτουργίας και έγκριση για παραγωγή

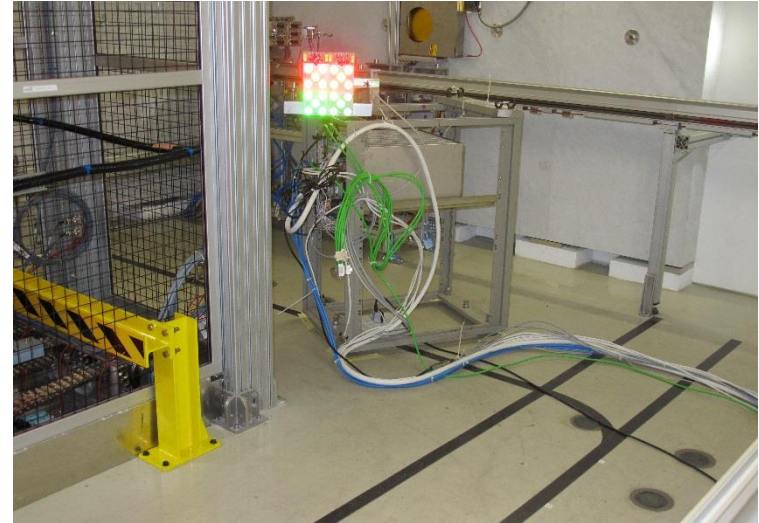
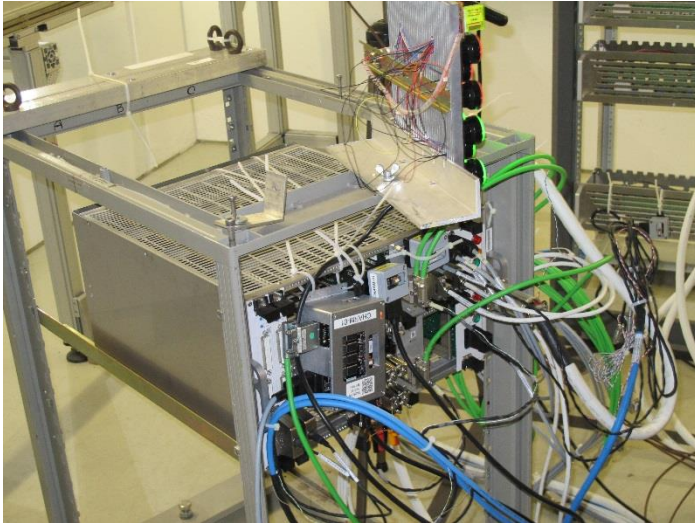


Testing EHBS at P8 (UA87; QYC01&QYC04) crates with long cables (50m&100m) and external load.



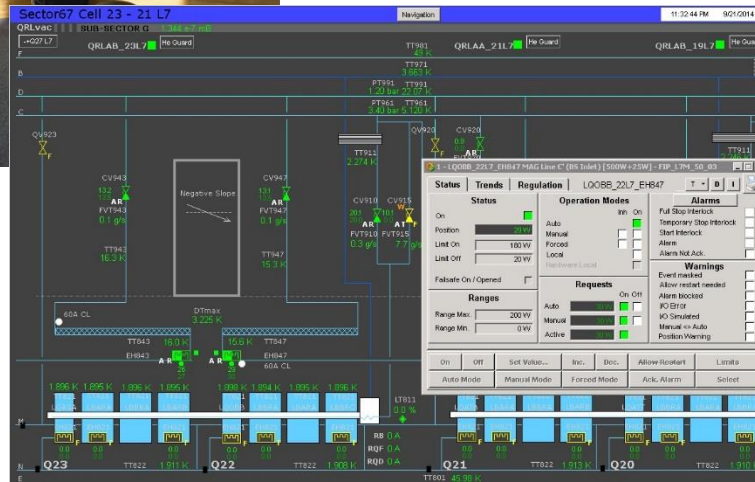
Remote online tests and PLC tests.

Επιβεβαίωση ανθεκτικότητας (στην ακτινοβολία) σειράς παραγωγής

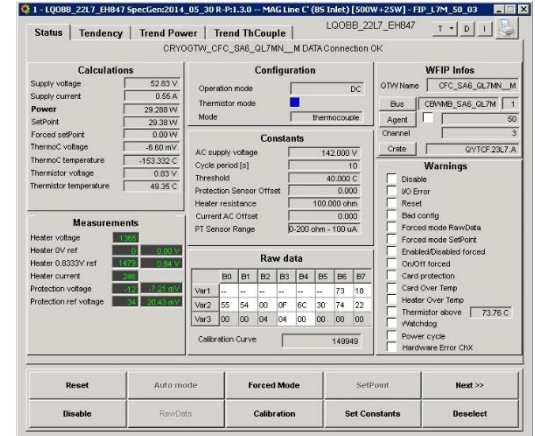


Δοκιμές στο CHARM, CERN σε στατιστικό δείγμα καρτών

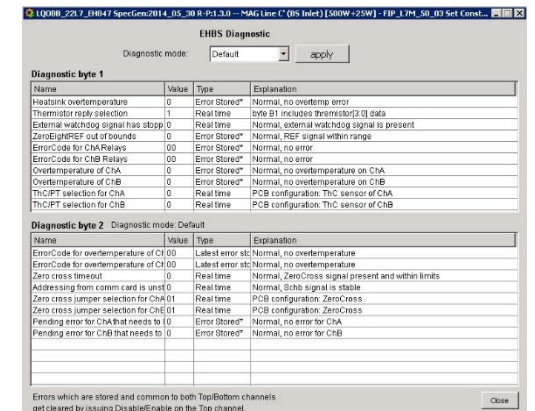
Οθόνες απεικόνισης και χειρισμού



Οθόνες χειριστών, αυτοματοποιημένο σύστημα, 1 χειριστής 24/7.
Στόχος: Συνεχής διαθεσιμότητα χωρίς σφάλματα.

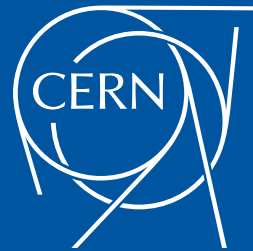


Οθόνη αισθητήρων (expert)



Οθόνη αντιμετώπισης σφαλμάτων

Ερωτήσεις



www.cern.ch